



УДК 547.32.577.113.4

КОНЪЮГАТЫ ОЛИГОНУКЛЕОТИДОВ, СОДЕРЖАЩИХ 5'-КОНЦЕВУЮ КАРБОКСИЛЬНУЮ ГРУППУ, С РАЗЛИЧНЫМИ НУКЛЕОФИЛЬНЫМИ АГЕНТАМИ: ТВЕРДОФАЗНЫЙ СИНТЕЗ И ХРОМАТОГРАФИЧЕСКОЕ ПОВЕДЕНИЕ

© 2003 г. А. В. Качалова*, В. Н. Ташлицкий*, Д. А. Стеценко**,
Е. А. Романова*, М. Дж. Гейт**, Т. С. Орецкая**

*Химический факультет и НИИ физико-химической биологии им. А.Н. Белозерского
Московского государственного университета им. М.В. Ломоносова,
119992, Москва, Воробьевы горы;

**Лаборатория молекулярной биологии, Медицинский исследовательский центр,
Кембридж, Великобритания

Поступила в редакцию 06.03.2002 г. Принята к печати 07.06.2002 г.

С использованием твердофазного химического синтеза получены конъюгаты олигонуклеотидов, содержащих 5'-концевую карбоксильную группу, с различными аминами и короткими пептидами. Методом обращенно-фазовой ВЭЖХ в ион-парном варианте установлена корреляционная зависимость времен удерживания синтезированных соединений от их физико-химических параметров.

Ключевые слова: ВЭЖХ, обращенно-фазовая в ион-парном варианте, модифицированные олиго-дезоксирибонуклеотиды, олигонуклеотидопептиды.

ВВЕДЕНИЕ

В настоящее время для изучения закономерностей белково-нуклеинового узнавания, а также для решения ряда задач молекулярной биологии активно используются конъюгаты олигонуклеотидов с различными молекулами. К фрагментам нукleinовых кислот ковалентно присоединяют репортевые молекулы, интеркаляторы, биологически активные пептиды и ферменты [1–3]. К настоящему моменту методы химического синтеза производных олигонуклеотидов, содержащих нуклеофильные группы (амино- [4] и меркапто- [5]), а также конъюгатов на их основе [6], хорошо разработаны. Напротив, число методов получения конъюгатов олигонуклеотидов на основе производных с карбоксильной или альдегидной функцией ограничено. Методы синтеза таких производных олигонуклеотидов, предложенные в работах [7, 8], предполагают введение карбоксильной группы по 3'-концу олигонуклеотида за счет модификации полимерного носителя дополнительным звеном ненуклеотидной природы. Авторы работы [7] осуществляли последующие взаимодействия с пептидами и флуоресцентными метками в водном растворе по-

сле отщепления олигонуклеотида от полимерного носителя. В работе [8] предложен метод получения конъюгатов *in situ*: олигонуклеотид отщепляли от полимерного носителя с помощью соответствующего нуклеофильного агента.

Введение карбоксильной группы по 5'-концу олигонуклеотида предполагает либо присоединение модифицированного звена в процессе автоматического синтеза [9], либо образование функциональной группировки по окончании наращивания олигонуклеотидной цепи после полного деблокирования олигонуклеотида [10]. Дальнейшее взаимодействие с нуклеофильным компонентом осуществлялось в растворе, что может сопровождаться низкими выходами, продолжительным временем реакции и возможным образованием ряда побочных продуктов. В этой связи для получения производных олигонуклеотидов более удобным может оказаться твердофазный метод синтеза из-за простоты проведения реакции и удаления избытков реагентов. Так, авторы работы [11, 12] вводили по 5'-концу олигонуклеотидной цепи модифицированное звено, содержащее активированный эфир карбоновой кислоты. После этого к модифицированным олигонуклеотидам до отщепления от полимерного носителя ковалентно присоединяли нуклеофильные компоненты. К недостаткам предложенного метода можно отнести длительное время конъюгации (6–12 ч) [11], не-

Сокращения: НОВТ – *N*-гидроксибензотриазол; НВТУ – гексафторфосфат *O*-(1*H*-бензотриазол-1-ил)-*N,N,N,N*-тетраметилурания.

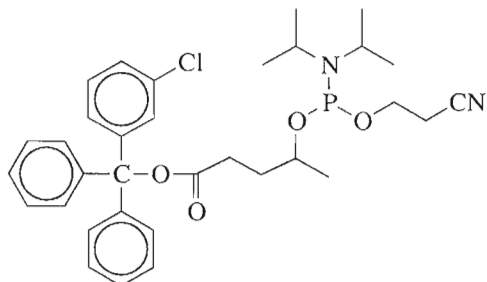
* Автор для переписки (тел.: (095) 939-31-48; факс: (095) 939-31-81; эл. почта: oretskaya@belozersky.msu.ru).

стабильность использованных модифицированных амидофосфитов при хранении и образование побочных продуктов при конъюгации [12].

Цель настоящей работы – твердофазный химический синтез конъюгатов олигонуклеотидов, содержащих 5'-концевую карбоксильную группу, с различными аминами и короткими пептидами (табл. 1). Также интересным представлялось получение корреляционной зависимости времени удерживания полученных соединений при анализе методом обращенно-фазовой ВЭЖХ (оффВЭЖХ) в ион-парном варианте от их физико-химических параметров, что могло бы позволить быстро и надежно оценить эффективность конденсации модифицированного олигонуклеотида с соответствующим нуклеофильным компонентом и провести косвенное подтверждение строения полученного соединения.

РЕЗУЛЬТАТЫ И ОБСУЖДЕНИЕ

Модификацию олигонуклеотидной цепи по 5'-концу мы осуществляли с использованием *O*-[1-метил-3-(2-хлортритилоксикарбонил)пропил]-*O'*-2-цианэтил-*N,N*-дизопропиламидофосфита, синтез которого описан нами в работе [13].



Реагент содержит *o*-хлортритиловую сложнозефирную группу [14], которая может быть селективно расщеплена действием разбавленной трихлоруксусной кислоты. Это позволяет деблокировать карбоксильную группу в ходе автоматического твердофазного синтеза, не затрагивая других защитных групп олигонуклеотида, и осуществлять дальнейшие превращения на твердой фазе в органической среде.

Амидофосфит вводился в автоматический олигонуклеотидный синтез на его последней стадии без изменений стандартного регламента конденсации. Карбоксильную функцию деблокировали в режиме стандартного дегидратирования. Для получения конъюгатов и последующего изучения хроматографических свойств была синтезирована олигодезоксирибонуклеотидная последовательность:



Олигонуклеотид (I) содержит в своем составе фрагмент (подчеркнут в формуле), комплемен-

тарный участку TAR РНК Tat-белка вируса иммунодефицита человека. Анализ реакционной смеси синтеза олигонуклеотида (I) методом оффВЭЖХ выявил наличие двух пиков, соответствующих двум разным соединениям. Их образование может быть объяснено наличием асимметрического атома углерода в структуре 5'-концевого линкера. После их разделения методом оффВЭЖХ было показано, что оба соединения обладают одинаковым временем удерживания в условиях ион-парной оффВЭЖХ. Строение полученного олигонуклеотида (I) доказано также данными масс-спектрометрии (табл. 2).

Для подтверждения наличия 5'-концевой карбоксильной группы и проверки ее реакционной способности проводили реакцию отщепленного от полимера и деблокированного олигонуклеотида (I) с дигидрохлоридом этилендиамина при активации водорастворимым карбодиимидом. Выход продукта реакции составил 98%.

Защищенный олигонуклеотид (I) со свободной карбоксильной функцией вводили в реакцию с нуклеофильными компонентами на твердой фазе в органической среде. Для подбора условий конденсации, анализа и выделения конъюгатов в качестве моделей были выбраны алифатический (1) и два ароматических (2) и (3) амина (табл. 1). Выходы соответствующих конъюгатов A1, A2, A3 составили 98–100%. При проведении реакции предварительно активировали модифицированный олигонуклеотид (I) смесью НВТУ–НОВТ (1 : 1) в течение 35 мин при 35°C в абсолютном диметилформамиде. После добавления соответствующего амина смесь инкубировали еще 1 ч.

Аналогичным образом были синтезированы конъюгаты с аминокислотами и короткими пептидами (табл. 1). Выходы полученных соединений близки к количественным (90–100%), за исключением конъюгата P3 (выход 80%). Последнее может объясняться более низкой реакционной способностью вторичной аминогруппы пролина. После конденсации конъюгаты деблокировали и отщепляли от носителя в стандартных условиях [15]. Реакционные смеси анализировали с помощью оффВЭЖХ в ион-парном варианте (рисунок). Результаты анализа в ряде случаев показали образование двух продуктов. Последние, по нашему мнению, являются диастереомерами конъюгатов, что было подтверждено данными масс-спектрометрии после разделения изомеров методом оффВЭЖХ (табл. 2).

Для контроля чистоты и определения эффективности конденсации был использован ион-парный метод оффВЭЖХ с эквидистантным градиентом. Разработанный в нашей лаборатории метод эквидистантного разделения олигонуклеотидов [16] заключается в том, что увеличение длины олигонуклеотида на одно звено приводит к увеличению времени удерживания на постоянную и различную для каж-

Таблица 1. Структуры и выходы синтезированных конъюгатов

Нуклеофильный компонент синтеза	Структура конъюгата	Обозначение конъюгата	Степень превращения при конъюгации*, %
2-(2-Гидроксиэтокси)этиламин (1)		A1	100
Тетрагидрофурфуриламин (2)		A2	100
2-Фенилэтиламин (3)		A3	100
H-Leu-NH ₂ (4)		A4	98
H-Phe-NH ₂ (5)		A5	98
H-Gly-Phe-NH ₂ (6)		P1	90
H-Gly-Leu-Met-NH ₂ (7)		P2	90
H-Pro-Leu-Gly-NH ₂ (8)		P3	80

R = $5'-(\text{CH}_2)_2-\text{CH}(\text{CH}_3)-\text{O}-[\text{олигонуклеотид}]-\text{OH}^{3'}$.

* Рассчитана по данным ВЭЖХ.

Таблица 2. Молекулярные массы исходного олигонуклеотида и полученных конъюгатов

Соединение	M_R рассч.	M_R эксп.
(I)	4702.06	4700.89
A1	4789.2	4787.1
A2*	4785.3	4783.1/4784.2
A3*	4805.02	4801.6/4803.2
A4*	4814.2	4812.2/4811.68
A5*	4848.2	4847.8/4848.7
P1	4905.3	4904.71
P2	5003.5	5006.5
P3	4969.4	4973.0

* Молекулярные массы, данные через косую черту, соответствуют двум разделенным диастереомерам.

дого из мононуклеотидов величину, не зависящую от длины олигонуклеотида. Вклад нуклеотидного звена является аддитивным и обусловлен двумя составляющими: ион-парным взаимодействием межнуклеотидного фосфата с катионом тетрабутиламмония с последующей сорбцией на поверхности неполярной неподвижной фазы и непосредственным гидрофобным взаимодействием гетероциклического основания с поверхностью неполярной неподвижной фазы. Первая составляющая постоянна для всех нуклеотидов, а вторая обуславливает различие парциального вклада конкретного нуклеотидного звена. В этом случае время удерживания олигонуклеотида определяется суммой парциальных вкладов нуклеотидов, входящих в его состав.

В данной работе продемонстрировано использование преимуществ ион-парного метода оФВЭЖХ для анализа модифицированных олигонуклеотидов, различающихся структурой присоединенного к олигонуклеотиду радикала. Мы предлагаем связать изменение времени удерживания олигонуклеотида с физико-химическими параметрами присоединенных к нему соединений: гидрофобностью, кислотно-основными свойствами, молекулярной массой и молекулярным объемом. Для расчета констант кислотности и гидрофобности радикалов с учетом их возможной ионизации, а также построения корреляционных уравнений со статистическим анализом экспериментальных данных был использован пакет программ, любезно предоставленный компанией "ACDLabs".

Структуры присоединенных радикалов, использованных для построения корреляционного уравнения, были отобраны таким образом, чтобы в программе, предсказывающей их хроматографическую подвижность, они имели существенно различающиеся времена удерживания и соответственно различные значения $\lg D$ – коэффициента распределения вещества между органической и водной фазами с учетом возможной ионизации (в зависимости от pH). Олигонуклеотид (I) и конъюгаты A1, A2, A3, A5

были проанализированы в стандартных условиях ион-парного разделения протяженных олигонуклеотидов с шагом 0.5 мин/звено. Соединения A2, A3, A5 обнаружили два пика предполагаемых диастереомеров с одинаковой молекулярной массой (табл. 2). Пики изомерных продуктов A3, A5 имели достаточное разрешение в условиях оФВЭЖХ. Изомеры разделяли, и индивидуальные диастереомеры анализировали методом оФВЭЖХ в ион-парном варианте. Хроматографические данные были экспортированы в ACD/Chromman 4.5, обработаны, и структуры присоединенных к олигонуклеотиду радикалов отнесены к соответствующим пикам. Найденные времена удерживания и структуры радикалов были перенесены в ACD/LC Simulator 5.09.

Был проведен расчет корреляционного уравнения на основании времен удерживания пиков, соответствующих конъюгатам A1, A2-1, A3-1, A5-1 и олигонуклеотиду (I) (где A2-1, A3-1, A5-1 – первые из двух пиков изомеров) по модели обращенно-фазового разделения:

$$\begin{aligned} \lg(t_R - t_0) = & 0.049(\pm 8.2e - 3)\lg D + \\ & + 2.90(\pm 4.5e - 3), \end{aligned} \quad (A)$$

$n = 5$, $R = 0.9608$, StD = 0.026, где n – число образцов, t_R – время удерживания; $\lg D$ – коэффициент распределения вещества между органической и водной фазами с учетом возможной ионизации (в зависимости от pH), рассчитанный программой для каждого из соединений, R – коэффициент корреляции; StD – стандартное отклонение.

Расчет уравнения (A) велся с учетом следующих дополнительных параметров: обращенная фаза; pH = 7.00; $t_0 = 2.50$ мин.

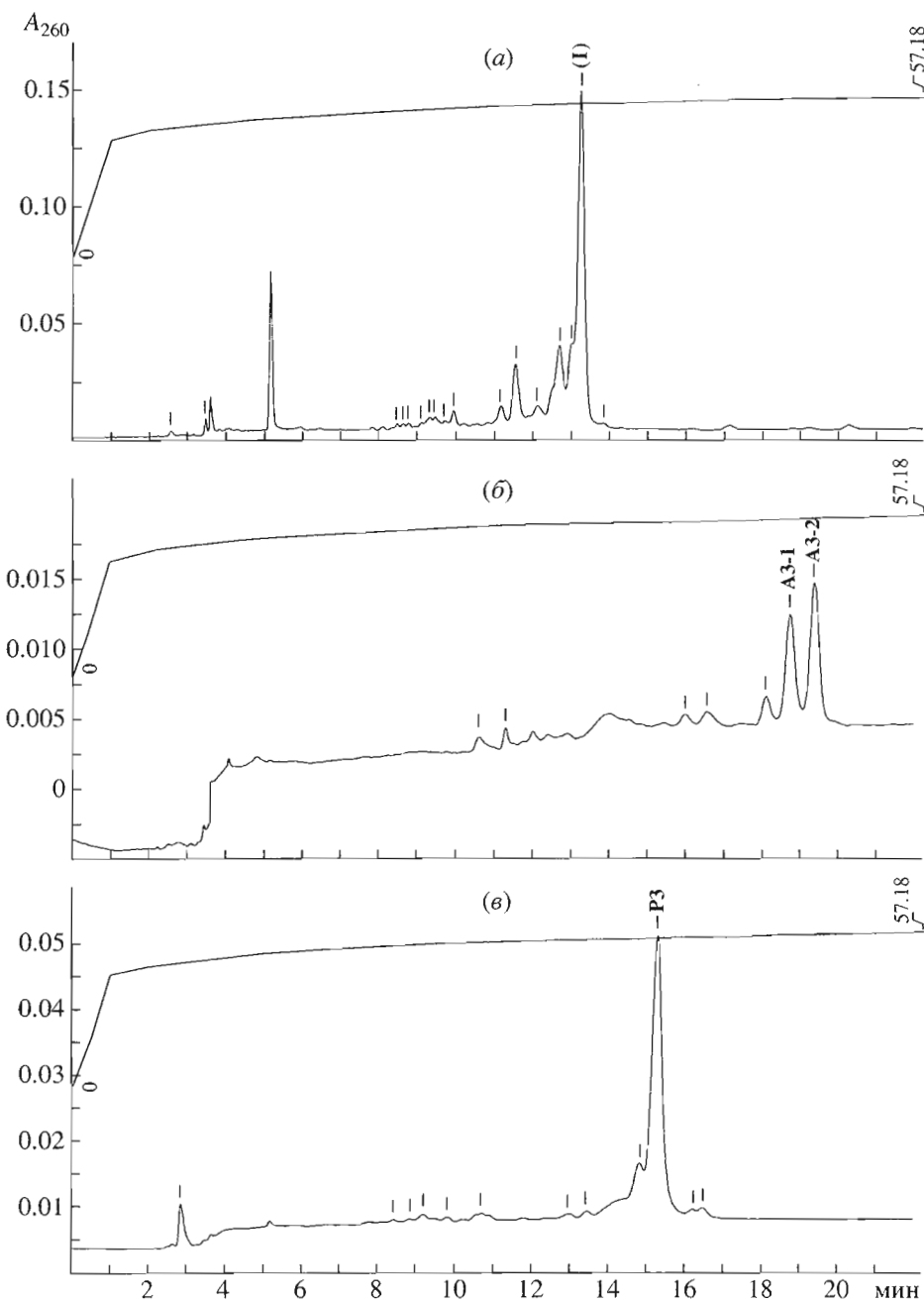
Также проводили аналогичный расчет на основании времен удерживания пиков, соответствующих конъюгатам A1, A2-2, A3-2, A5-2 и олигонуклеотиду (I) (где A2-2, A3-2, A5-2 – вторые из двух пиков изомеров):

$$\begin{aligned} \lg(t_R - t_0) = & 0.054(\pm 7.5e - 3)\lg D + \\ & + 2.91(\pm 4.1e - 3), \end{aligned} \quad (B)$$

$n = 5$, $R = 0.9724$, StD = 0.024.

Расчет уравнения (B) велся с учетом следующих дополнительных параметров: обращенная фаза; pH = 7.00; $t_0 = 2.50$ мин.

Несмотря на хорошие коэффициенты корреляции, использование только $\lg D$ в качестве корреляционного параметра приводит к систематической погрешности предсказания времени удерживания олигонуклеотида (I) – 12.4 и 12.5 мин по уравнениям A, B, соответственно, вместо 13.07 мин и как следствие к нарушению предсказанной последовательности выхода пиков конъюгата A1 и олигонуклеотида (I). Задание предсказанных значений времени удерживания модифицированного олигонуклеотида обусловлено



Анализ методом оффВЭЖХ в ион-парном варианте реакционных смесей: автоматического синтеза олигонуклеотида (I) (а), синтеза конъюгата А3 (б) и конъюгата Р3 (в).

Условия проведения ВЭЖХ указаны в "Эксперимент. части".

частичной диссоциацией карбоксильной группы при pH 7. Ионизированная карбоксильная группа способна к ион-парному взаимодействию с ионом тетрабутиламмония. Это приводит к наблюдаемому экспериментально увеличению времени удерживания олигонуклеотида. Учет этого фактора возможен при использовании смешанного режима анионного обмена и обращенно-фазового взаимодействия при расчете корреляционных уравнений. Вклад анионного обмена в механизме удерживания определяется эмпирическим параметром "ус-

ловный заряд" (Z). Оказалось, что коэффициент корреляции достигает максимума и предсказанная последовательность выхода пиков конъюгата А1 и олигонуклеотида (I) соответствует экспериментальной при $Z = 4$. Исходя из этого, новые корреляционные уравнения имеют вид (C), (D).

Был проведен расчет корреляционного уравнения (C) на основании времен удерживания пиков продуктов А1, А2-1, А3-1, А5-1 и (I) по модели анионного обмена:

Таблица 3. Хроматографическая подвижность полученных соединений

Соединение	t_R		
	эксп.	вычисл. по серии 1*	вычисл. по серии 2**
(I)	13.07	13.17	13.23
A1	12.79	12.78	12.95
A2-1	13.84	13.53	—
A2-2	14.61	—	13.9
A3-1	18.74	18.22	—
A3-2	19.37	—	18.9
A4-1	14.65	14.75	—
A4-2	15.13	—	15.28
A5-1	15.39	15.98	—
A5-2	16.05	—	16.78
P1	17.43	15.85	16.28
P2	19.26	17.77	19.32
P3	15.52	15.96	17.11

* Серия 1 – базовая смесь составлена из конъюгатов A1, A2-1, A3-1, A5-1 и олигонуклеотида (I), расчет по уравнению (C).

** Серия 2 – базовая смесь составлена из конъюгатов A1, A2-2, A3-2, A5-2 и олигонуклеотида (I), расчет по уравнению (D).

$$\lg(t_R - t_0) = 0.052(\pm 0.011)\lg D' + 7.6e - 4(\pm 2.9e - 4)MV + 2.77(\pm 0.015), \quad (C)$$

$n = 5$, $R = 0.9725$, StD = 0.027, где $\lg D'$ – коэффициент распределения вещества между органической и водной фазами с учетом электростатического взаимодействия заряженной органической среды с заряженными частицами, находящимися в водном растворе, MV – молекулярный объем.

Расчет уравнения (C) велся с учетом следующих дополнительных параметров: анионный обмен; pH = 7.00; Z = 4.00; t_0 = 2.50 мин.

По найденному уравнению предсказанные времена удерживания A4-1, P1, P2 и P3 соответствуют экспериментальным (табл. 3).

Также был проведен аналогичный расчет на основании времен удерживания конъюгатов A1, A2-2, A3-2, A5-2 и (I)

$$\lg(t_R - t_0) = 0.053(\pm 0.012)\lg D' + 9.3e - 4(\pm 3.2e - 4)MV + 2.76(\pm 0.017), \quad (D)$$

$n = 5$, $R = 0.9705$, StD = 0.030.

Расчет уравнения (D) велся с учетом следующих дополнительных параметров: анионный обмен; pH = 7.00; Z = 4.00; t_0 = 2.50 мин.

Как видно из полученных результатов (табл. 3), предсказанные времена удерживания двух изомеров, полученных при присоединении остатка аминокислоты (4), находятся в хорошем соответствии с наблюдаемыми экспериментально. Повышенные погрешности определения времен удержива-

ния конъюгатов с остатками дипептида P1, трипептидов P2 и P3 обусловлены, по-видимому, более сложной структурой и возможными в связи с этим внутримолекулярными взаимодействиями.

Таким образом, твердофазным методом были получены конъюгаты олигонуклеотидов, содержащих 5'-концевую карбоксильную функцию, с различными аминами по методикам, описанным нами в [13]. Предложенный подход может быть рекомендован и для получения олигонуклеотидопептидов, хотя в ряде случаев ограничен растворимостью протяженных пептидов в полярных аprotонных растворителях (диметилформамид, диметилсульфоксид). Использованный метод ион-парной оФВЭЖХ с эквидистантным градиентом в сочетании со специально разработанным пакетом программ ACDLabs позволяет проводить быстрое подтверждение строения модифицированного соединения.

ЭКСПЕРИМЕНТАЛЬНАЯ ЧАСТЬ

В работе были использованы 5'-O-диметокситритил-3'-(N,N-диизопропиламида)-β-цианэтилфосфиты 2'-дезоксирибонуклеозидов, 5-S-этилтиотетразол, полимерный носитель dN CPG-500 с загрузкой первым нуклеозидным звеном 35–40 мкмоль/г (Glen Research, США); триэтиламин, гексафторфосфат O-(1Н-бензотриазол-1-ил)-N,N,N',N'-тетраметилурония (НВТУ), N-гидроксибензотриазол (НОВТ), диметилформамид (Fluka, Швейцария), 1-этил-3-(3-диметиламинопропил)карбодииimid, 2-(2-гидроксиэтокси)этиламин, дигидрохлорид этилендиамина, перхлорат лития (Sigma, США), гидрохлориды амидов аминокислот и пептидов (Bachem, Великобритания), тетрагидрофурфуриламин, 2-фенилэтиламин (Реахим, Россия).

MALDI-TOF-спектры регистрировали на приборе Voyager DE фирмы PerSeptive Biosystems (США).

Автоматический синтез модифицированного олигодезоксирибонуклеотида (I) осуществляли амидофосфитным методом на синтезаторе Applied Biosystems 380B (США) с применением коммерческих реагентов и растворителей по стандартному регламенту. Использовали раствор модифицированного амидофосфита в абсолютном ацетонитриле с концентрацией 0.18 М.

Анализ реакционных смесей и контроль чистоты продуктов после выделения проводили методом обращенно-фазовой ВЭЖХ в ион-парном варианте на хроматографе Waters (США) с шагом элюции два нуклеотидных звена в минуту. Использовали колонку 4 × 250 мм Диасорб-130-C18_T (размер частиц 7 мкм). Условия аналитического разделения: температура колонки – 45°C, расход элюента – 1 мл/мин. Элюент – 48 мМ калий-фосфатный буфер (pH 7.0), содержащий 2 мМ дигидрофосфат тетрабутиламмония; градиент концентрации ацетонитрила 5–20.4% (1 мин); 20.4–21.6% (1 мин); 21.6–23.2% (3 мин); 23.2–24.4% (5 мин); 24.4–25.6% (10 мин).

Выделение синтезированных конъюгатов и разделение смесей соответствующих диастереомеров проводили методом оффВЭЖХ на хроматографе Tracor (Голландия). Использовали колонку 4×250 мм с сорбентом Диасорб-130-C16_T (размер частиц 7 мкм). Условия разделения: температура колонки – 45°C, расход элюента – 1 мл/мин. Элюент – 0.1 М ацетат аммония; градиент концентрации ацетонитрила 0–40% (80 мин).

Реакция модифицированного олигонуклеотида (I) с дигидрохлоридом этилендиамина. К раствору 0.4 ОЕ₂₆₀ олигонуклеотида (I) в 40 мкл воды добавляли 5.3 мг дигидрохлорида этилендиамина и 3 мг 1-этил-3-(3-диметиламинопропил)карбодимида. Инкубировали 3 ч при комнатной температуре. Олигонуклеотиды осаждали, прибавляя к реакционной смеси 100 мкл 2 М раствора перхлората лития и 1 мл ацетона, переосаждали и промывали 300 мкл ацетона. Анализ полученных продуктов проводили с использованием оффВЭЖХ в ион-парном варианте в условиях, описанных выше.

Синтез конъюгатов. После завершения автоматического синтеза и деблокирования карбоксильной группы к модифицированному олигонуклеотиду (I), иммобилизованному на полимерном носителе, добавляли раствор смеси НВТУ (100 экв.) и НОВТ (100 экв.) в 150 мкл абсолютного диметилформамида и инкубировали при 35°C 35 мин, периодически встряхивая. Затем добавляли амин (100 экв.) и, в случае соединений (4)–(8), триэтиламин (100 экв.). Смесь выдерживали 1 ч при 35°C при перемешивании, центрифугировали, супернатант удаляли, полимер промывали последовательно диметилформамидом (2×200 мкл), этанолом (2×200 мкл) и водой (2×100 мкл). Отщепление конъюгатов от полимерного носителя и деблокирование функциональных групп проводили в условиях, описанных в работе [15]. Реакционные смеси анализировали методом оффВЭЖХ в ион-парном варианте, выделение конъюгатов осуществляли методом оффВЭЖХ в условиях, описанных выше. Строение полученных соединений подтверждало методом масс-спектрометрии.

Solid Phase Synthesis and Chromatographic Characteristics of Nucleophilic Agents Conjugated with Oligonucleotides Containing 5'-Terminal Carboxyl Group

A. V. Kachalova*, V. N. Tashlitsky*, D. A. Stetsenko**,
E. A. Romanova*, M. J. Gait**, and T. S. Oretskaya**#

Phone: +7 (095) 939-3148, fax: +7 (095) 939-3181, e-mail: oreetskaya@belozersky.msu.ru

* Faculty of Chemistry and Belozersky Institute of Physicochemical Biology, Lomonosov State University,
Vorob'evy gory, Moscow, 119992 Russia

** Laboratory of Molecular Biology, Medical Research Council, Hills Road, Cambridge, CB2 2QH, United Kingdom

Conjugates of amines or short peptides with oligonucleotides containing 5'-terminal carboxyl group were prepared by solid phase chemical synthesis. A correlation between the physicochemical parameters and retention times of the synthesized conjugates was established by ion-pair reversed-phase HPLC. The English version of the paper: *Russian Journal of Bioorganic Chemistry*, 2003, vol. 29, no. 3; see also <http://www.maik.ru>.

Key words: ion-pair reversed-phase HPLC, modified oligodeoxyribonucleotides, oligonucleotidopeptides

Работа выполнена при поддержке гранта Wellcome Trust (№ 057361) и программы “Ведущие научные школы” (№ 00-15-97944). Авторы благодарят А.Н. Муравьеву (химический факультет МГУ) за помощь при хроматографическом выделении полученных соединений.

СПИСОК ЛИТЕРАТУРЫ

- Beaucage S.L., Iyer R.P. // Tetrahedron. 1993. V. 49. P. 10441–10488.
- Стещенко Д.А., Арзуманов А.А., Коршун В.А., Гейт М.Дж. // Молекуляр. биология. 2000. Т. 34. С. 998–1006.
- Tung C.-H., Stein S. // Bioconj. Chem. 2000. V. 11. P. 605–618.
- Agrawal S. // Protocols for Oligonucleotide Conjugates / Ed. S. Agrawal. Totowa, New Jersey: Humana Press Inc., 1994. P. 93–120.
- Fidanza J.A., Ozaki H., McLaughlin L.W. // Protocols for Oligonucleotide Conjugates / Ed. S. Agrawal. Totowa, New Jersey: Humana Press Inc., 1994. P. 121–144.
- Зубин Е.М., Романова Е.А., Орецкая Т.С. // Успехи химии. 2002. Т. 71. С. 273–302.
- Kahl J.D., Greenberg M.M. // J. Org. Chem. 1999. V. 64. P. 507–510.
- Hovinen J., Guzaev A., Azhayev A., Lonnberg H. // Tetrahedron. 1994. V. 50. P. 7203–7218.
- Kremsky J.N., Wooters J.L., Dougherty J.P., Meyers R.E., Collins M., Brown E.L. // Nucl. Acids Res. 1987. V. 15. P. 2891–2909.
- Gottikh M., Asseline U., Thuong N.T. // Tetrahedron Lett. 1990. V. 31. P. 6657–6660.
- Hovinen J., Guzaev A., Azhayev A., Lonnberg H. // J. Chem. Soc. Perkin Trans. 1. 1994. V. 19. P. 2745–2750.
- Guzaev A., Manoharan M. // Bioorg. and Med. Chem. Lett. 1998. V. 8. P. 3671–3676.
- Kachalova A.V., Stetsenko D.A., Romanova E.A., Tashlitsky V.N., Gait M.J., Oretskaya T.S. // Helv. Chim. Acta. 2002. V. 85. P. 2409–2416.
- Athanassopoulos P., Barlos K., Gatos D., Hatzi O., Tsavara C. // Tetrahedron Lett. 1995. V. 36. P. 5645–5648.
- Oligonucleotides and Analogues: A Practical Approach / Ed. F. Eckstein. Oxford, New York, Tokyo: IRL Press, 1991.
- Ташлицкий В.Н., Орецкая Т.С. // Биоорган. химия. 1997. Т. 23. С. 732–741.